

П И СЬ М А  
В ЖУРНАЛ ЭКСПЕРИМЕНТАЛЬНОЙ  
И ТЕОРЕТИЧЕСКОЙ ФИЗИКИ

ОСНОВАН В 1965 ГОДУ  
ВЫХОДИТ 24 РАЗА В ГОД

ТОМ 61, ВЫПУСК 4  
25 ФЕВРАЛЯ, 1995

Письма в ЖЭТФ, том 61, вып.4, стр.229 - 232

© 1995г. 25 февраля

КОММЕНТАРИЙ К ИНТЕРПРЕТАЦИИ ИЗМЕРЕНИЯ ПОТОКА  
АТМОСФЕРНЫХ НЕЙТРИНО ДЕТЕКТОРОМ КАМИОКАНДЕ

О.Г.Ряжская

Институт ядерных исследований РАН  
117312 Москва, Россия

Поступила в редакцию 13 января 1995 г.

Проведен анализ распределения по объему событий, зарегистрированных детектором Камиоканде в эксперименте по измерению потока атмосферных нейтрино. Показано, что электроноподобные события вблизи границ рабочего объема состоят из смеси взаимодействий  $\nu_e$  с нуклонами и нейтронов – с ядрами O<sup>16</sup>. Нейтроны генерируются в ливнях, рождаемых мюонами в грунте. Отношение  $\nu_\mu/\nu_e$  в центральном объеме детектора, отстоящем от плоскости фотумножителей примерно на 3 м, близко к ожидаемому.

В [1] обсуждался фон, вызываемый изолированными нейтронами в черенковских детекторах, изучающих атмосферные нейтрино. Нейтроны рождаются в ливнях, генерируемых мюонами в стенах. Определенная часть высокогенергичных нейтронов может отойти далеко от ствола ливня, пройти без видимого сигнала в антисовпадательной защите во внутренний объем детектора и дать электроноподобные события за счет реакции  $nA \rightarrow \pi X^0$ . Оценки показывают, что такой фон существен вплоть до глубин 5000 м.в.э.

Недавно появилась статья коллаборации Камиоканде [2], в которой авторы представили пространственное распределение точек взаимодействия электроно- и мюоноподобных событий для энергий выше 1,33 ГэВ (см. рис.1; ось абсцисс представляет квадрат радиуса детектора, ось ординат – его высоту). Событие называется полностью внутренним (FC), если точка взаимодействия лежит внутри рабочего объема и нет видимой энергии в системе антисовпадений. Частично внутреннее событие (PC) может иметь видимую энергию, соответствующую прохождению одной частицы, в антисовпадательной защите, но при этом надежно устанавливается, что точка взаимодействия находится в рабочем объеме. По определению, PC-событиями могут быть только мюоноподобные события. FC-событиями являются как мюоноподобные (светлые точки

на рис.1), так и электроноподобные (черные точки) события. Полное число мюоноподобных FC-событий равно 31, электроноподобных – 98.

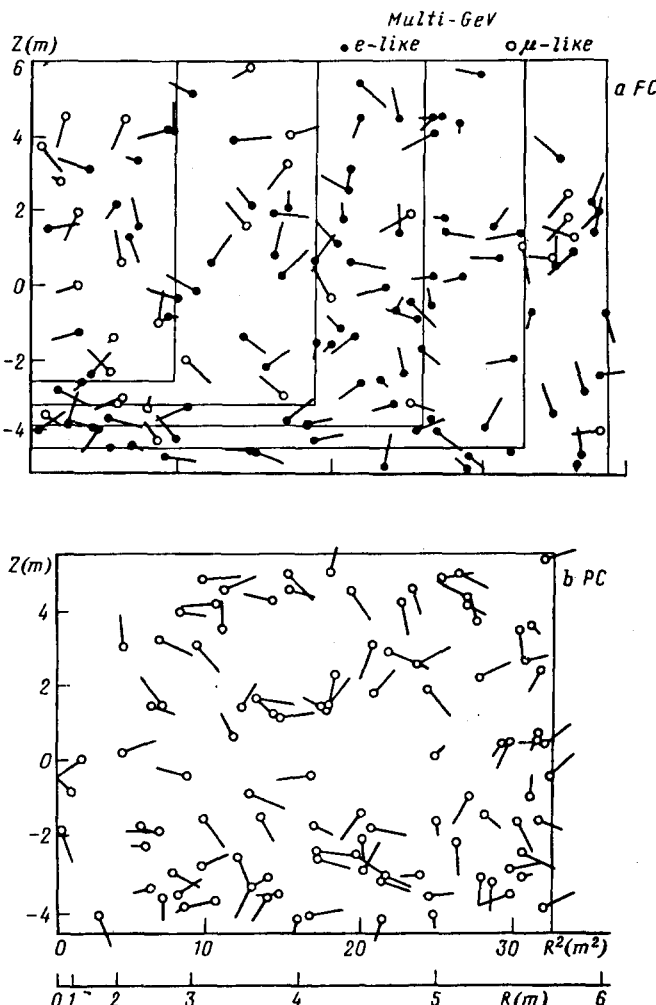


Рис.1. Двумерное, в плоскости  $R^2 - Z$ , распределение точек взаимодействия и направления импульсов для: а) FC-событий; б) PC-событий, зарегистрированных детектором Kamiokande.  $Z$  – вертикальная ось,  $R$  – расстояние вдоль радиуса цилиндрического рабочего объема. Черные точки – места взаимодействий для электроноподобных событий, светлые – то же для мюоноподобных событий. Линии по вертикали и горизонтали – границы одинаковых объемов (см. текст)

Рассмотрим, насколько распределение, приведенное на рис.1, соответствует гипотезе о том, что все зарегистрированные события являются взаимодействиями нейтрино.

В отсутствие краевого эффекта точки взаимодействия нейтрино должны быть распределены равномерно. Такое распределение справедливо для суммы FC- и PC-событий. За счет краевого эффекта плотность нейтринных FC-событий должна уменьшаться от центра к периферии. Плотность событий, связанных с нейтронному фону, должна быть больше в наружных слоях, так как источник нейтронов находится вне детектора. Из-за краевого эффекта количество событий, связанных с нейтронами, будет уменьшаться к центру слабее, чем  $\exp(-r/\lambda)$ , где  $\lambda$  – пробег нейтрона до генерации пиона.

Следует отметить, что нейтроны, генерируемые мюонами в грунте, попадают в детекторы преимущественно через боковые стенки и снизу. Вероятность

нейтрону, созданному в ливне над установкой, прийти в детектор без сопровождения заряженных частиц крайне мала. Разделим детектор на пять одинаковых объемов, как показано на рис.1. Линии по вертикали – следы цилиндрических поверхностей, отстоящих от границы рабочего объема на  $0,5\lambda$ ,  $1,1\lambda$ ,  $2,1\lambda$  и  $3,3\lambda$ . Линии по горизонтали показывают сечения цилиндра, отстоящие от дна на  $0,7\lambda$ ,  $1,4\lambda$ ,  $2,1\lambda$  и  $2,8\lambda$ .

Распределение зарегистрированных в эксперименте событий по объему детектора, считая от центра к периферии, представлено на рис.2. Ось абсцисс – доля объема, ось ординат – число событий, зарегистрированных в данном объеме. Гистограмма 1 – ожидаемое распределение точек взаимодействия мюонных нейтрино для FC-событий, точки – экспериментальные данные. Согласие между кривой и точками довольно хорошее. Это подтверждает гипотезу, что мюоноподобные события являются взаимодействиями мюонных нейтрино.

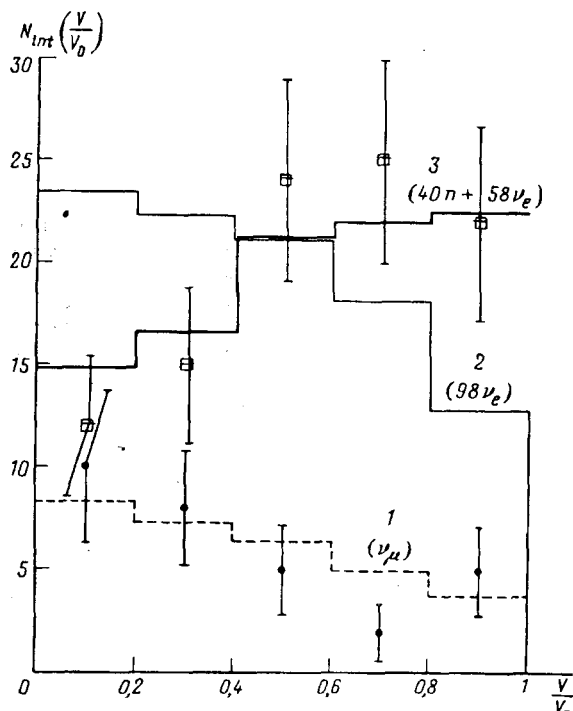


Рис.2. Распределение зарегистрированных Камиоканде событий в одинаковых долях рабочего объема ( $V/V_0$ ) от центра к периферии. Точки – мюоноподобные, квадратики – электроноподобные события. Ожидаемые распределения: 1 – нейтринных мюоноподобных событий; 2 – то же для электроноподобных событий, вызванных нейтрино; 3 – для смеси взаимодействий электронных нейтрино и фона, вызванного нейтронами высоких энергий

Гистограмма 2 – распределение точек взаимодействий, ожидаемое в случае, если все электроноподобные события обязаны нейтрино. Видно, что экспериментально полученное распределение электроноподобных событий отличается как от ожидаемой гистограммы, так и от распределения мюоноподобных событий. Гистограмма 3 рассчитана в предположении, что из полного числа (98) зарегистрированных событий 58 обязаны взаимодействиям нейтрино, а 40 – регистрации  $\pi^0$ -мезонов, рожденных в реакциях  $n0^{16} \rightarrow \pi^0 X$ , как было получено в работе [1]. Согласие экспериментальных данных с этой гистограммой – вполне удовлетворительное.

Из рис.2 можно заключить, что нейтронный фон в 40% рабочего объема, ограниченного  $2,1\lambda$  снизу и сбоку, мал. По оценке, он составляет менее 20% зарегистрированных событий. Следовательно, этот объем можно использовать

для определения  $\nu_\mu/\nu_e$ -отношения. Эта величина получается равной  $(N_\mu^{\text{FC}} + N_\mu^{\text{PC}})/N_e^{\text{FC}} = 59/27 = 2,2 \pm 0,4$ , близкой к ожидаемой.

Приведенное рассмотрение показывает, что на глубинах около 3000 м.в.э. для проведения экспериментов по регистрации атмосферных нейтрино, взаимодействующих внутри детекторов, необходимо выбирать рабочий объем, отстоящий от стен не менее чем на  $5\lambda$ . Это требование становится мягче с увеличением глубины. Но даже на глубинах около 5000 м.в.э. следует использовать антисовпадательную защиту толщиной  $1 \div 2\lambda$ .

Из приведенных рисунков следует, что если размеры внутреннего объема детектора меньше  $4 - 6\lambda$ , то пространственное распределение событий будет близким к равномерному (см. 3 последних точки на гистограмме 3 рис.2), что может затруднить выделение эффекта из фона.

В заключение считаю своим приятным долгом поблагодарить Г.Т.Зацепина, Л.Б.Безрукова, Э.В.Бугаева, Л.В.Волкову, Г.В.Домогацкого, И.М.Железных, С.П.Михеева и В.Г.Рясного за обсуждение данной работы.

- 
1. О.Г.Ряжская, Письма в ЖЭТФ 60, 609 (1994).
  2. Y.Fukudo, T.Hayakawa, K.Inoue et al., Phys. Lett. 335, 237 (1994).